

Relatório de Atividade - Estimação de parâmetros

Débora Nunes Pinto de Oliveira

Prof. Antonio Marcus, Análise e Projeto de Sistemas de Controle 21.1

19 de abril de 2021

Esse documento tem por objetivo descrever a identificação de modelos pelo método dos mínimos quadrados.

Esse algoritmo determina uma estimação dos parâmetros do modelo e é adequado para **processos não-lineares ou variantes no tempo**.

Table of Contents

[Fundamentação Teórica](#)

[Desenvolvimento](#)

[Exemplo 1: Mínimos quadrados em processos invariantes no tempo](#)

[Exemplo 3: Mínimos quadrados em processo não-linear](#)

[Exemplo 5: Função degrau como entrada de um sistema](#)

[Exemplo 10: Perda de identificação em razão da realimentação](#)

[A\) Ganho constante](#)

[B\) Ganho variável](#)

[Exemplo 12: Mudança de sinal de excitação](#)

[A\) Pulso unitário](#)

[B\) Sinal periódico](#)

[Exemplo 13: Estimativa do erro](#)

[A\) RLS](#)

[B\) ELS](#)

[Exemplo 19: Parametrização de um circuito](#)

[Exercício proposto 21: Variação de parâmetros do RLS](#)

[A\) Variação de](#)

[B\) Variação de](#)

[C\) Variação de](#)

[D\) Variação de](#)

[Referências bibliográficas](#)

Fundamentação Teórica

O modelo de uma planta é construído conforme dados experimentais [1]. Isto é, a identificação de um processo é desenvolvida segundo uma relação matemática entre as entradas e saída coletadas. Para controle adaptativo, a entrada da planta é originada via *feedback* e não pode ser determinada unicamente [2]. Portanto, deve-se estimar os parâmetros do modelo simulado para o comportamento mais próximo do processo real. Um desses algoritmos de estimação é nomeado método dos mínimos quadrados.

A relação de entrada $u(t)$ e saída $y(t)$ de um sistema discreto pode ser dada por:

$$y(t) + a_1 y(t-1) + \dots + a_n y(t-n) = b_1 u(t-1) + \dots + b_m u(t-m)$$

A qual pode ser reescrita como:

$$\hat{y}(t|\theta) = -a_1 y(t-1) - \dots - a_n y(t-n) + b_1 u(t-1) + \dots + b_m u(t-m) = \varphi^T(t)\theta$$

para $\varphi(t) = [-y(t-1) \dots -y(t-n) \ u(t-1) \dots u(t-m)]^T$ e $\theta = [a_1 \dots a_n \ b_1 \dots b_m]^T$. com o intuito de encontrar o menor erro entre o processo real e o estimado, deve-se encontrar o mínimo da função de custo $V(\theta, t)$, sendo

$$V(\theta, t) = \frac{1}{2} \sum_{k=1}^t (y(k) - \hat{y}(k))^2 = \frac{1}{2} \sum_{k=1}^t (y(k) - \varphi^T(k)\theta)^2$$

Para encontrar $\min V(\theta, t)$, encontra-se $\hat{\theta}$ tal que $\partial V(\hat{\theta}, t)/\partial \theta = 0$. Dessa forma:

$$\sum_{k=1}^t \varphi(k) (y(k) - \varphi^T(k) \hat{\theta}) = 0 \rightarrow \sum_{k=1}^t \varphi(k) y(k) = \sum_{k=1}^t \varphi(k) \varphi^T(k) \hat{\theta}$$

$$\therefore \hat{\theta} = \left[\sum_{k=1}^t \varphi(k) \varphi^T(k) \right]^{-1} \sum_{k=1}^t \varphi(k) y(k) = P(t) \sum_{k=1}^t \varphi(k) y(k)$$

Logo, é evidente que $P(t)$ deve ser positiva definida. Nesse estudo, será generalizado $\varphi(t) = [\varphi_1(t) \dots \varphi_{n+m}(t)]^T$ para $\varphi_i(t)$ uma função das entradas e saídas do processo.

Desenvolvimento

Os controladores propostos foram construídos e simulados utilizando blocos no Simulink. As estratégias adotadas seguem a apresentação citada na [Seção 1](#). Primeiramente, serão apresentados os exercícios resolvidos. Por fim, serão discutidas as questões propostas.

Exemplo 1: Mínimos quadrados em processos invariantes no tempo

Considere o sistema tal que $\varphi(t) = [1 \ u(t) \ u^2(t)]^T$ e $\theta = [b_0 \ b_1 \ b_2]^T$ para $y(t) = \varphi^T(t) \theta_0 + e(t)$, sendo $e(t)$ um ruído gaussiano com desvio padrão 0.1. A expressão de $\hat{\theta}$ é adaptada para:

$$\hat{\theta} = P(t) \sum_{k=1}^t \varphi(k) [\varphi^T(k) \theta_0 + e(k)]$$

Logo, o erro $\tilde{\theta} = \hat{\theta} - \theta_0$ é dado por:

$$\tilde{\theta} = P(t) \sum_{k=1}^t \varphi(k) e(k)$$

Se $e(t)$ é um ruído gaussiano de média nula, u e y variáveis determinísticas e E o valor esperado, obtém-se que

$$E \tilde{\theta} = P(t) \sum_{k=1}^t \varphi(k) E e(k) = 0$$

Logo, a estimativa de $\hat{\theta}$ pelo método de mínimos quadrados rejeita ruídos gaussianos na medição da saída $y(t)$.

Essa questão tem por objetivo discutir qual a ordem de $\hat{\theta}$ do modelo estimado mais se adequa à planta simulada. É esperado que com o aumento da ordem, a curva do modelo identificado se aproxime do processo real até atingir um erro mínimo. Foram realizados 4 experimentos variando a ordem da matriz $\hat{\theta}$ entre 1 e 4. O valor real de $y(t)$ e estimado $\hat{y}(t)$ para cada modelo estão ilustrados na [Figura 1](#).

ex01

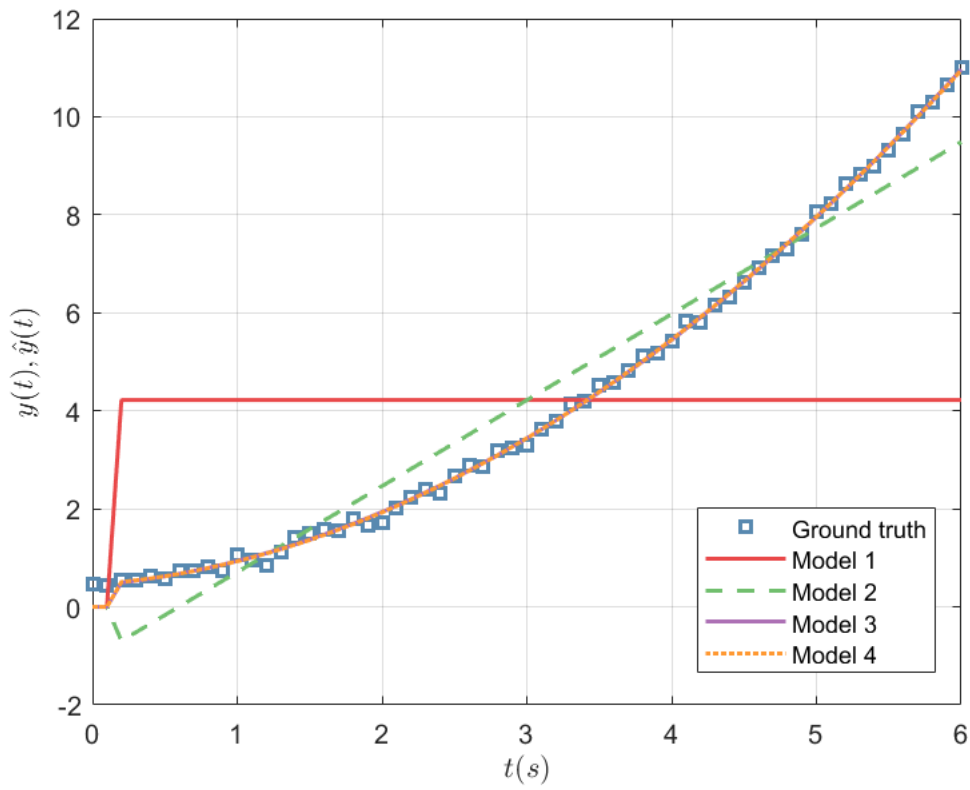


Figura 1: $y(t)$ e $\hat{y}(t)$ para $\hat{\theta}$ um vetor de ordem 1 a 4.

Para os modelos para ordem de 2 ou 3 de $u(t)$ em φ , o desvio padrão entre $y(t)$ e $\hat{y}(t)$ é aproximadamente 0,13. Para $\varphi = [1 \ u(t)]$ e $\varphi = [1]$, o desvio padrão entre $y(t)$ e $\hat{y}(t)$ é 0,65 e 10, respectivamente. Analisando esses resultados, é evidente que o aumento da ordem da matriz θ aproxima \hat{y} de y até atingir um erro mínimo. Observando a [Figura 1](#), fica claro que o erro gaussiano $e(t)$ é rejeitado pela estimativa de mínimos quadrados.

Exemplo 3: Mínimos quadrados em processo não-linear

A matriz $R = P^{-1}(t)$ pode ser reescrita como:

$$P^{-1}(t) = \sum_{k=1}^{t-1} \varphi(k)\varphi^T(k) + \varphi(t)\varphi^T(t) = P^{-1}(t-1) + \varphi(t)\varphi^T(t)$$

Considerando que

$$\hat{\theta}(t-1) = P(t-1) \sum_{k=1}^{t-1} \varphi(k)y(k) \therefore \sum_{k=1}^{t-1} \varphi(k)y(k) = P^{-1}(t-1)\hat{\theta}(t-1)$$

Substituindo P^{-1} :

$$P^{-1}(t-1)\hat{\theta}(t-1) = [P^{-1}(t) - \varphi(t)\varphi^T(t)]\hat{\theta}(t-1)$$

Logo

$$\begin{aligned} \hat{\theta}(t) &= P(t) \sum_{k=1}^t \varphi(k)y(k) = P(t) \left[\sum_{k=1}^{t-1} \varphi(k)y(k) + \varphi(t)y(t) \right] = P(t) [P^{-1}(t) - \varphi(t)\varphi^T(t)]\hat{\theta}(t-1) + P(t)\varphi(t)y(t) \\ \therefore \hat{\theta}(t) &= \hat{\theta}(t-1) - P(t)\varphi(t)\varphi^T(t)\hat{\theta}(t-1) + P(t)\varphi(t)y(t) = \hat{\theta}(t-1) + K(t)\varepsilon(t) \end{aligned}$$

para $K(t) = P(t)\varphi(t)$ e $\varepsilon = y(t) - \varphi^T(t)\hat{\theta}(t-1)$. Dessa forma, $\hat{\theta}(t)$ depende apenas da última amostra e é, portanto, adequado para aplicação no laço de realimentação de um controlador adaptativo. É importante destacar a necessidade de definir o valor $\hat{\theta}(0)$ e $P(0)$.

Considerando que, para matrizes quadradas A , C e $C^{-1} + DA^{-1}B$ não singulares, a matriz inversa de $A + BCD$ é

$$(A + BCD)^{-1} = A^{-1} - A^{-1}B(C^{-1} + DA^{-1}B)^{-1}DA^{-1}$$

para $A = P^{-1}(t-1)$, $B = \varphi(t)$, $C = I$ e $D = \varphi^T(t)$, encontra-se que:

Logo, para $K(t) = P(t)\varphi(t)$, obtém-se:

$$K(t) = P(t)\varphi(t) = P(t-1)\varphi(t) [I + \varphi^T(t)P(t-1)\varphi(t)]^{-1}$$

É evidente o cálculo de uma matriz inversa. Porém, como $\varphi^T(t)P(t-1)\varphi(t)$ é um escalar, a inversão é simples e nunca indefinida, uma vez que $I = 1$. Essa formulação dos métodos dos mínimos quadrados é nomeada recursivo (RLS).

Considere o sistema não linear $\varphi(t) = [-y(t) \ u(t) \ \sin u(t)]^T$ e $\theta = [a \ b_1 \ b_2]^T$ para $y(t) = \varphi^T(t-1)\theta_0$. Como os parâmetros são lineares, a estimativa de $\hat{\theta}$ pode ser obtida conforme o método dos mínimos quadrados recursivo. O valor real de $y(t)$ e estimado $\hat{y}(t)$ para cada modelo estão ilustrados na [Figura 2](#).

ex03

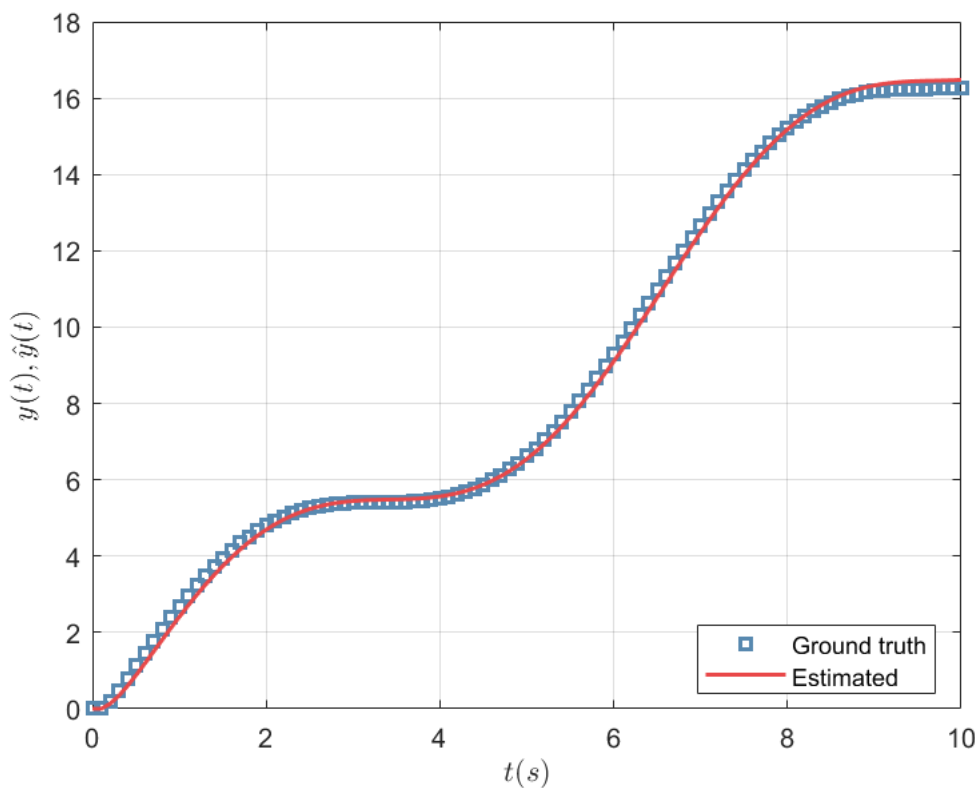


Figura 2: $y(t)$ e $\hat{y}(t)$ para $\hat{\theta}$ um vetor de ordem 3.

Conforme ilustrado na [Figura 2](#), o modelo não linear é corretamente estimado empregando RLS. Como os parâmetros são lineares, é possível construir um vetor θ tal que $y(t) = \varphi^T(t)\theta_0$. O desvio padrão entre a função estimada \hat{y} e a real y é:

```
sqrt(mean((z-y).^2))
```

ans = 0.1493

Exemplo 5: Função degrau como entrada de um sistema

Para analisar a persistência de um sinal de excitação u , considera-se a matriz C_n tal que:

$$C_n = \lim_{t \rightarrow \infty} \frac{P^{-1}(t)}{t} = \begin{bmatrix} c(0) & c(1) & \cdots & c(n-1) \\ c(1) & c(0) & \cdots & c(n-2) \\ \vdots & & \ddots & \\ c(n-1) & c(n-2) & \cdots & c(0) \end{bmatrix}$$

para $\varphi = [u(t-1) \ u(t-2) \ \dots \ u(t-n)]$ e $c(k)$ a covariância entre as amostras da entrada, isto é:

$$c(k) = \lim_{t \rightarrow \infty} \frac{1}{t} \sum_{i=1}^t u(i)u(i-k) = \lim_{t \rightarrow \infty} \frac{1}{t} \sum_{i=1}^t [A(q)u(k)]^2$$

para $A(q) = a_0 q^{n-1} + a_1 q^{n-2} + \dots + a_{n-1}$. Se $a = [a_0 \ a_1 \ \dots \ a_{n-1}]$, é evidente que:

$$c(k) = U = a^T C_n a$$

Caso C_n seja positiva definida, é evidente que $U > 0$. Sinais persistentes com U positivo indicam matrizes inversíveis de $P(t)$ e, portanto, estimáveis via RLS. Além disso, sinais de excitação persistentes garantem a unicidade dos dados experimentais. Dessa forma, são adquiridas mais informações sobre o processo modelo e torna-se possível aumentar a ordem de $\hat{\theta}$.

Por exemplo, para $u(t)$ um pulso unitário, $A(q) = 1$:

$$c(k) = \lim_{t \rightarrow \infty} \frac{1}{t} \sum_{i=1}^t u(i)u(i-k) = 0 \therefore C_n = U = 0$$

Dessa forma, o pulso unitário não é persistente para qualquer número de amostras n . Já para degrau unitário, tem-se:

$$C_1 = c(0) = \lim_{t \rightarrow \infty} \frac{1}{t} \sum_{i=1}^t u^2(k) = \lim_{t \rightarrow \infty} \frac{1}{t} \sum_{i=1}^t (1) = \lim_{t \rightarrow \infty} \frac{t}{t} = 1$$

Logo, para ordem 1, o degrau unitário é persistente. Para as demais ordens, $U = 0$. Dessa forma, deve-se empregar outros sinais periódicos de excitação com período n , os quais são sinais persistentes de ordem n .

Exemplo 10: Perda de identificação em razão da realimentação

Para malhas fechadas, considera-se o $\varphi = [y(t-1) \ y(t-2) \ \dots \ y(t-m) \ u(t-1) \ u(t-2) \ \dots \ u(t-n)]^T$. Logo, a matriz $P(t)$ possui produtos cruzados entre sinais de entrada u e saída y . Para realimentação de baixa ordem, a matriz C_n não possui posto completo. Dessa forma, $U = 0$ e os parâmetros não podem ser determinados unicamente.

A) Ganho constante

Por exemplo, considere o sistema $y(t+1) + ay(t) = bu(t)$ tal que $\varphi(t) = [-y(t) \ u(t-1)]^T$ e $\theta = [-(a + \alpha k) \ (b - \alpha)]^T$ para $y(t) = \varphi(t-1)^T \theta$ e k o ganho da malha de realimentação $u(t) = -ky(t)$. Considerando $\hat{a} = a + \alpha k$ e $\hat{b} = b - \alpha$:

$$\therefore \hat{b} = b - \frac{(\hat{a} - a)}{k}$$

Portanto, qualquer solução $\hat{\theta} = [\hat{b} \ \hat{a}]$ garante infinitas soluções para a e b , os quais são associados conforme o valor do ganho de realimentação k . Esses parâmetros a e b estão contidos na reta ilustrada na [Figura 3](#), porém não podem ser unicamente identificados.

ex10_A

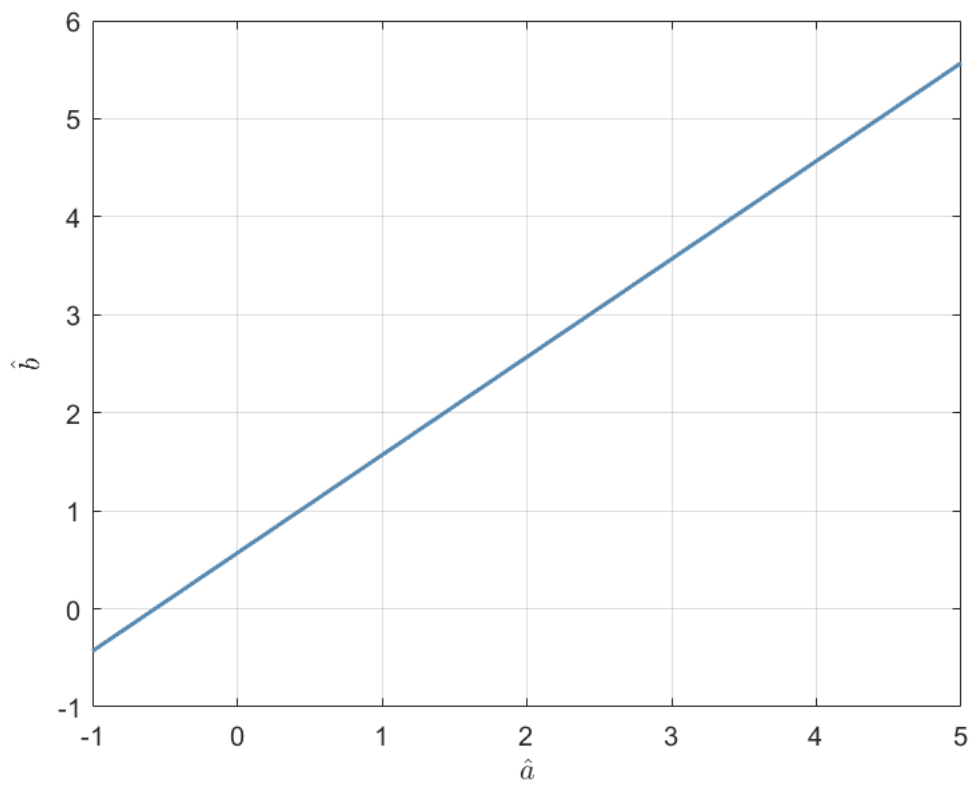


Figura 3: Reta representante da relação entre a e b para $\hat{\theta}$.

B) Ganho variável

Com o intuito de garantir $U > 0$, pode-se realimentar $u(t) = -k(t)y(t)$ para $k(t)$ um ganho variável ou aumentar a ordem da realimentação para $u(t) = -k_1 y(t) - k_2 y(t-1)$. Para:

$$k(t) = \begin{cases} k_1, & t \leq 5 \\ k_2, & t > 5 \end{cases}$$

a reta $b(a)$ está ilustrada na [Figura 4](#). Como as retas para k_1 e k_2 são referentes aos mesmos parâmetros \hat{b} e \hat{a} , o ponto de intersecção entre as retas indica unicamente os valores de $a + k\alpha = 1.5$ e $b - \alpha = 1$. Se $k = 1$ e $\alpha = 0.5$, obtém-se $b = 1.5$ e $a = 1$.

ex10_B

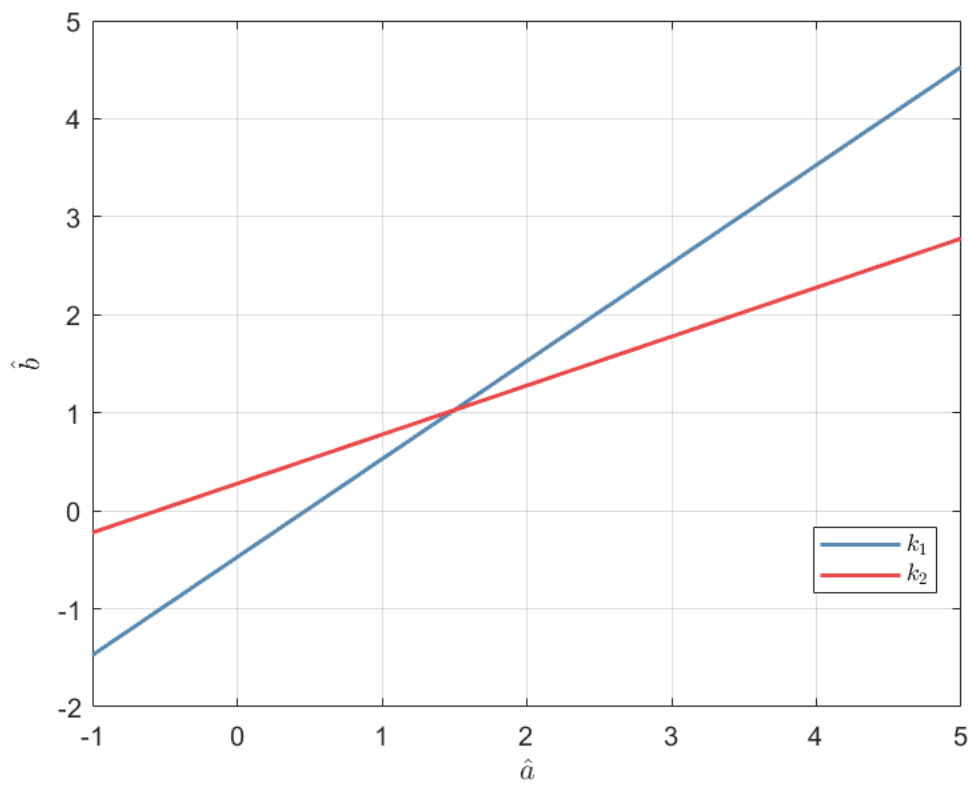


Figura 4: Reta representante da relação entre a e b para $\hat{\theta}$ com ganho de realimentação variável.

Exemplo 12: Mudança de sinal de excitação

Considere o sistema $y(t) + ay(t-1) = bu(t-1) + e(t) + ce(t-1)$ para $a = -0.8$, $b = 0.5$ e $e(t)$ um ruído branco gaussiano de média nula e variância 0,5. Além disso, $c = 0$, $P(0) = 100I$ e $\hat{\theta}(0) = 0$.

A) Pulso unitário

Para o RLS, é possível definir $\varphi(t-1) = [-y(t-1) \ u(t-1)]^T$ e $\hat{\theta} = [-a \ b]^T$. Considerando um sinal de excitação $u(t)$ como um pulso unitário em $t = 50$ e um total de $n = 1000$ amostras, obtém-se as estimativas para a e b conforme ilustrado na [Figura 5](#).

ex12_A

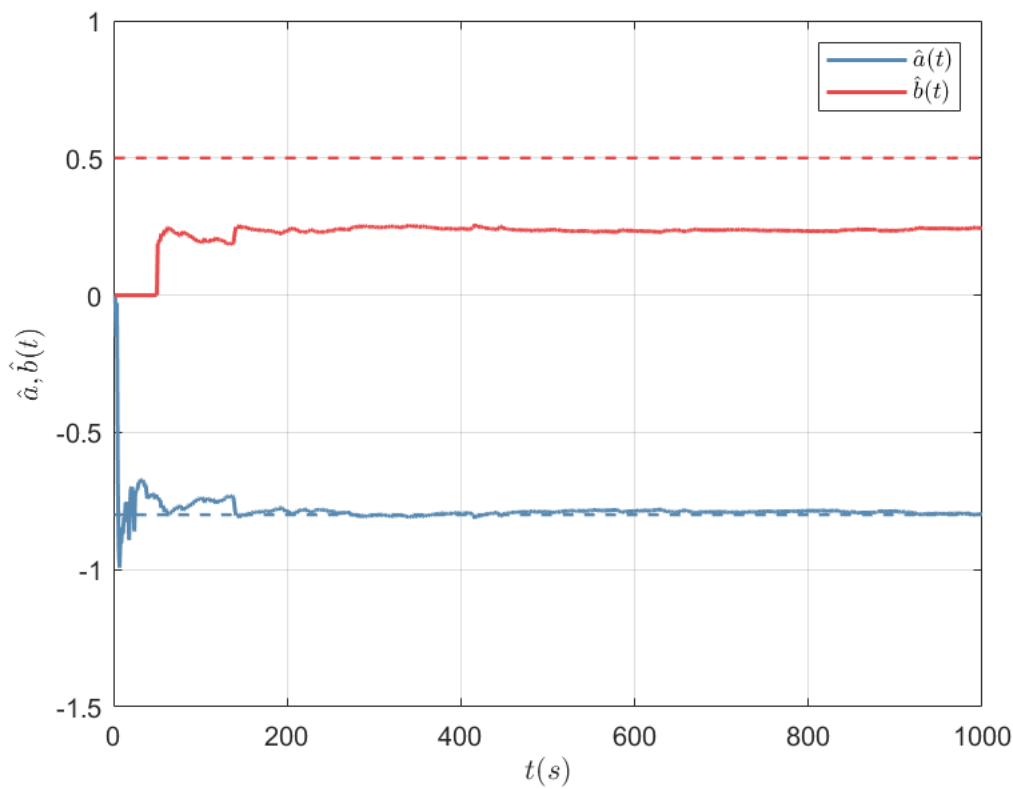


Figura 5: Estimativas dos parâmetros \hat{b} e \hat{a} em função do tempo empregando RLS para $u(t)$ um pulso.

Observando a [Figura 5](#), é evidente que a estimativa do parâmetro \hat{b} referente à entrada realimentada não acompanha o valor real 0,5. Conforme discutido no [Ex. 5](#), a função de excitação $u(t)$ pulso unitário não é persistente.

B) Sinal periódico

Dessa forma, aplicou-se sobre o sistema uma entrada de onda quadrada $u(t)$ periódica com período $T = 100$. As novas estimativas para a e b estão ilustradas na [Figura 6](#).

ex12_B

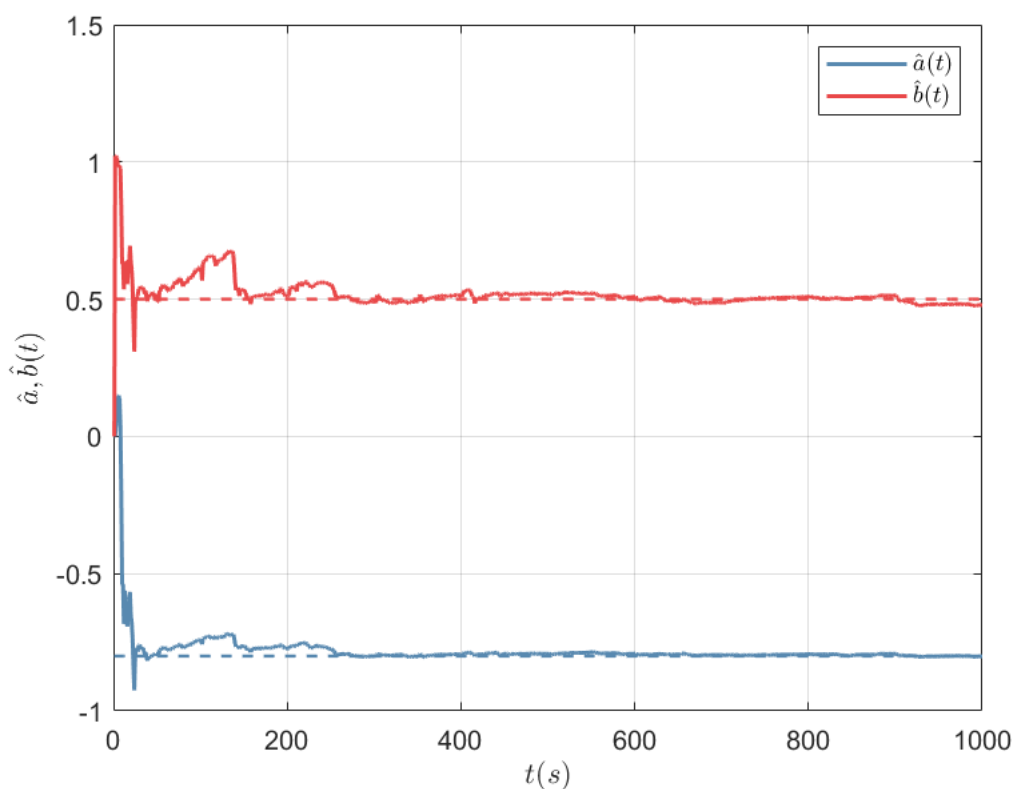


Figura 6: Estimativas dos parâmetros \hat{b} e \hat{a} em função do tempo empregando RLS para $u(t)$ uma onda quadrática.

Observando a [Figura 6](#), é evidente que a estimativa do parâmetro \hat{b} referente à entrada realimentada acompanha o valor real 0,5. Conforme discutido no [Ex. 5](#), a função de excitação $u(t)$ pulso unitário não é persistente para qualquer ordem $n = 100$. O desvio padrão entre as estimativas \hat{a} e \hat{b} de seus valores reais são, respectivamente:

```
sqrt(mean((theta-ones(size(theta)).*[-0.8;0.5]).^2,2))
```

```
ans = 2×1
    0.0863
    0.0613
```

Para simplificar a computação de uma nova matriz P e $\hat{\theta}$ a cada amostra, pode-se empregar o algoritmo de aproximação de Kaczmarz, o qual considera:

$$K(t) = \frac{\gamma \varphi(t)}{\alpha + \varphi^T(t) \varphi(t)}$$

Determinando $\gamma = 0.025$ e $\alpha = 0.01$, encontra-se na [Figura 7](#) estimativa para os parâmetros a e b com o método RLS.

```
ex12_C
```

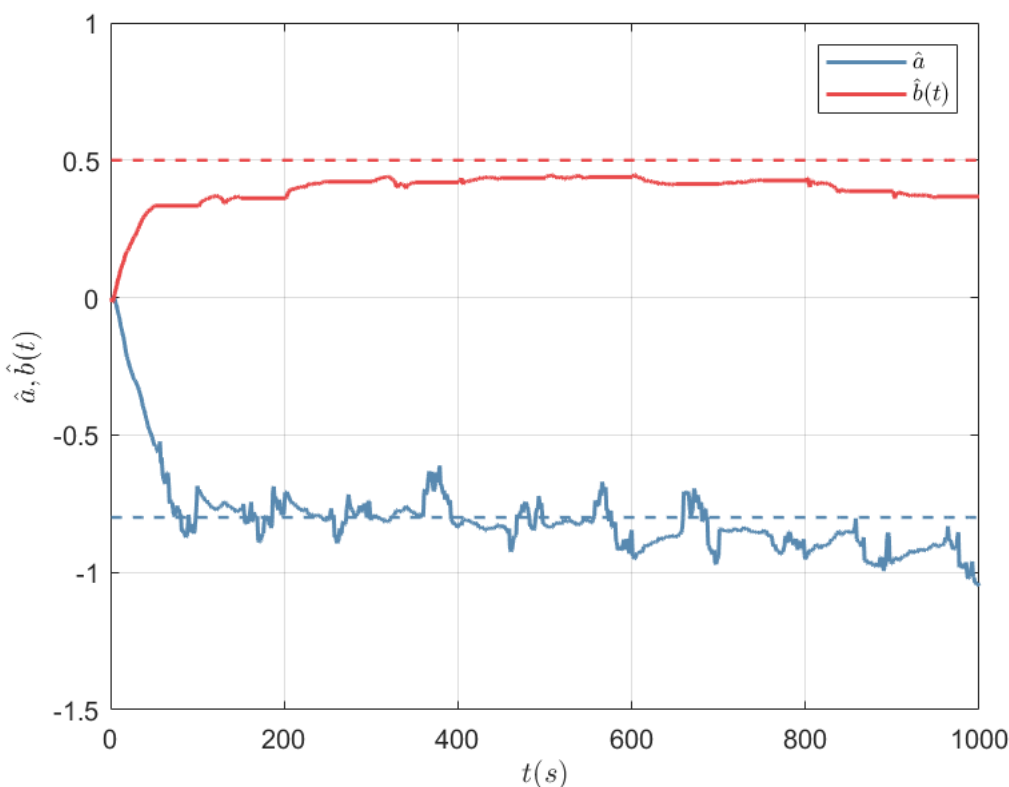


Figura 7: Estimativas dos parâmetros \hat{b} e \hat{a} em função do tempo empregando RLS para $u(t)$ uma onda quadrática com a aproximação de Kaczmarz.

Observando a [Figura 7](#), é evidente que a simplificação do algoritmo minimiza a precisão da estimação. Uma maior eficiência do algoritmo poderia ser encontrada para diferentes valores de γ e α .

Exemplo 13: Estimativa do erro

A) RLS

Agora, considera-se o sistema apresentado no [Ex.12](#) com $c \neq 0$. Como o ruído modelado $e(t) + ce(t-1)$ não é mais gaussiano com média zero, o desenvolvimento apresentado no [Ex.1](#) para $E\tilde{\theta} = 0$ não é mais válido. Aplicando o método RLS sobre o sistema, obtém-se as estimativas de a e b conforme apresentado na [Figura 8](#).

ex13_A

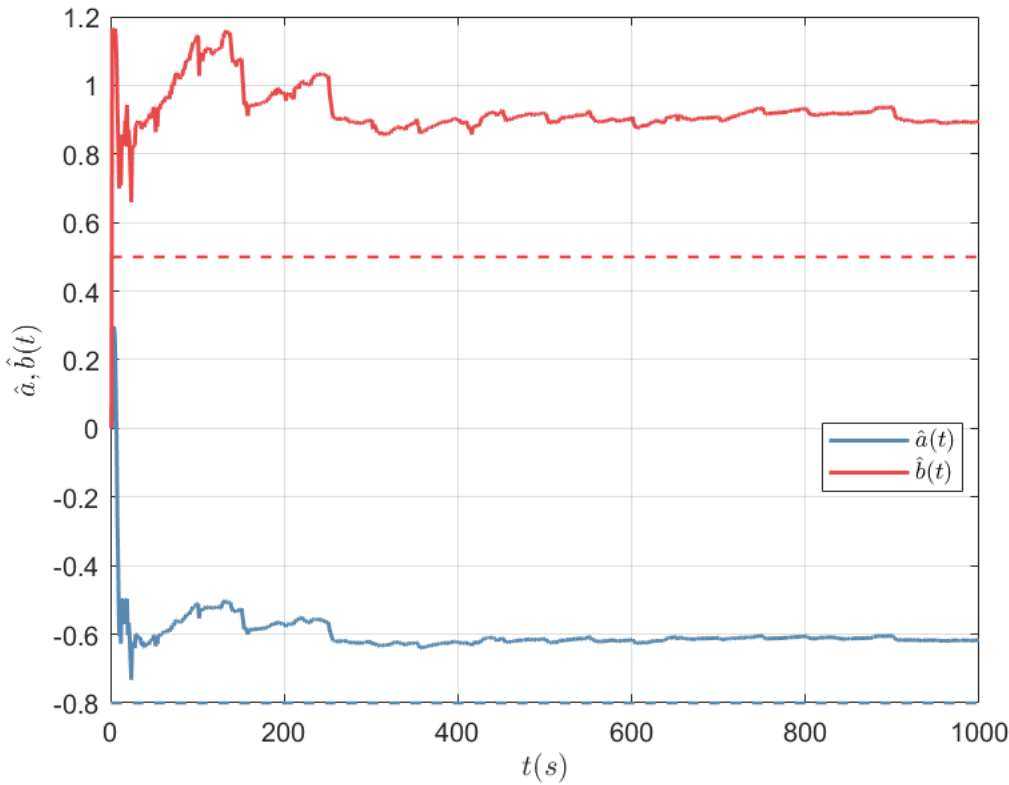


Figura 8: Estimativas dos parâmetros \hat{b} e \hat{a} em função do tempo empregando RLS para $u(t)$ uma onda quadrática e $c \neq 0$.

Observando a [Figura 8](#), é evidente que por $E\tilde{\theta} \neq 0$, a estimativa dos parâmetros θ é enviesada.

B) ELS

Para solucionar esse problema, pode-se aplicar a metodologia dos mínimos quadrados estendido (ELS), ou seja, para casos em que $E\varphi^T(t)e(t) \neq 0$. No ELS, considera-se o vetor

$$\varphi(t-1) = [-y(t-1) \dots -y(t-n) \ u(t-1) \dots u(t-n) \ \varepsilon(t-1) \dots \varepsilon(t-n)]^T$$

para $\varepsilon = y(t) - \varphi^T(t)\hat{\theta}(t-1)$, conforme discutido no [Ex. 3](#). Dessa forma, considera-se $y(t) = \varphi^T(t-1)\theta_0 + e(t)$. Aplicando o método ELS sobre o sistema, obtém-se as estimativas de a e b conforme apresentado na [Figura 9](#).

ex13_B

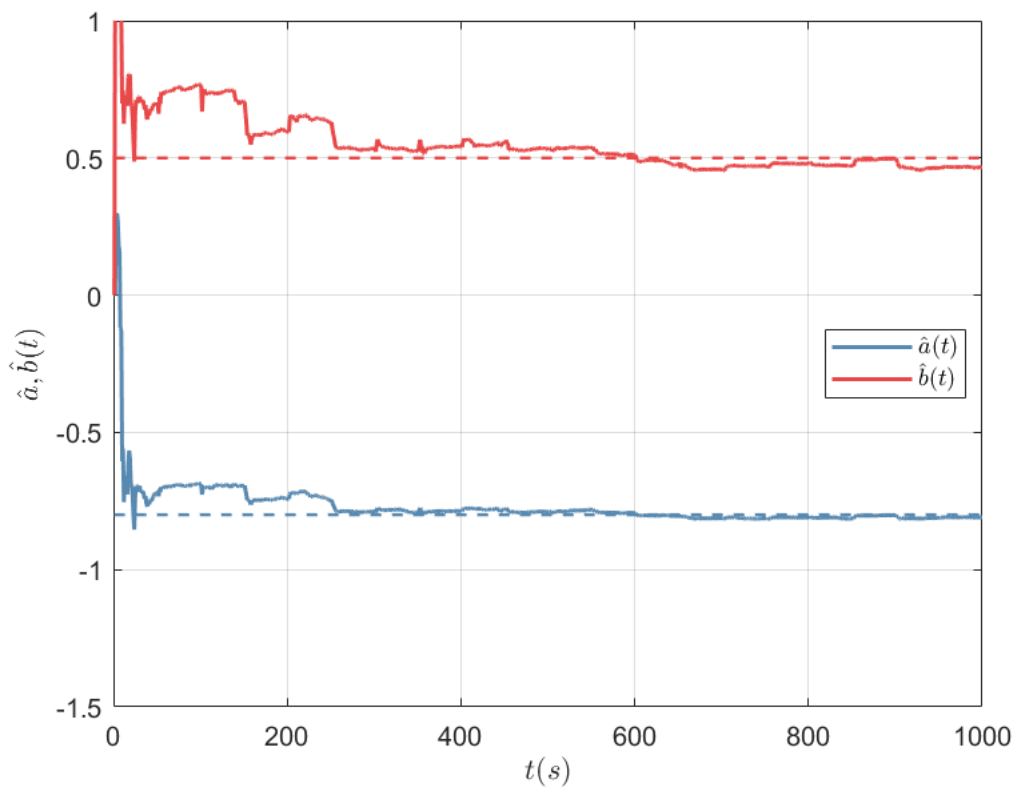


Figura 9: Estimativas dos parâmetros \hat{b} e \hat{a} em função do tempo empregando ELS para $u(t)$ uma onda quadrática e $c \neq 0$.

Observando a [Figura 9](#), é evidente que a estimativa do parâmetro \hat{b} referente à entrada realimentada acompanha o valor real 0,5. O desvio padrão entre as estimativas \hat{a} e \hat{b} de seus valores reais são, respectivamente:

```
sqrt(mean((theta-ones(size(theta)).*[-0.8;0.5;-0.5]).^2,2))
```

```
ans = 3×1
    0.0984
    0.1143
    0.1438
```

O desvio padrão para 1000 amostras é maior para o ELS que para o RLS quando $c = 0$. Considerando no primeiro caso deve-se ajustar um parâmetro a mais que no último, é evidente que a estabilidade da estimativa no ELS será atingida com maior número de amostras em relação ao RLS.

Exemplo 19: Parametrização de um circuito

Para estimar parâmetros em sistemas de tempo contínuo, é possível empregar LS para ajustar os coeficientes da função de transferência $G(s)$ do processo. Considerando que essa função de transferência descreve, no domínio do tempo, a seguinte relação entre entrada e saída:

$$\frac{d^n y}{dt^n} + a_1 \frac{d^{n-1} y}{dt^{n-1}} + \dots + a_n y = b_1 \frac{d^{n-1} u}{dt^{n-1}} + b_n u$$

é possível reescrever a relação entre $y(t)$ e $u(t)$ como $A(p)y(t) = B(p)u(t)$, para $A(p)$ e $B(p)$ polinômios em função do operador diferencial $p = \frac{d}{dt}$. Analogamente à relação entre $y(t)$ e $u(t)$ apresentada na [Fund. Teórica](#),

é possível escrever os vetores:

$$\varphi^T(t) = [-p^{n-1}y_f \dots -y_f \ p^{n-1}u_f \dots u_f] \text{ e } \theta^T = [a_1 \dots a_n \ b_1 \dots b_n]$$

para $y_f(t) = H_f(p)y(t)$ e $u_f(t) = H_f(p)u(t)$, no qual H_f é um filtro estável com excesso de polos responsável pela rejeição dos ruídos da operação derivada.

Para esse exemplo, considere o sistema contínuo determinado pelo espaço de estados:

$$\dot{x} = \begin{bmatrix} 0 & -\frac{1}{C} \\ \frac{1}{L} & -\frac{R}{L} \end{bmatrix} x + \begin{bmatrix} \frac{1}{C} \\ 0 \end{bmatrix} u$$

$$y = [0 \quad R]x$$

A função de transferência desse sistema pode ser escrita como

$$G(s) = \frac{\theta_1 \theta_2 \theta_3}{s^2 + \theta_1 \theta_2 s + \theta_2 \theta_3}$$

para $\theta_1 = R$, $\theta_2 = 1/L$ e $\theta_3 = 1/C$. Considerando $k_1 = \theta_1 \theta_2 \theta_3$, $k_2 = \theta_1 \theta_2$ e $k_3 = \theta_2 \theta_3$, é possível estimar o vetor $\theta = [k_2 \ k_3 \ k_1]^T$ para $\varphi^T(t-1) = [-dy(t-1)/dt \ -y(t-1) \ u(t-1)]$. Discretizando $G(s)$ com período de amostragem h , obtém-se a função de transferência:

$$H(q) = \frac{b_1 q + b_2}{q^2 + a_1 q + a_2}$$

Dessa forma, pode-se considerar $\varphi^T(t-1) = [-y(k-1) \ -y(k-2) \ u(k-1) \ u(k-2)]$ e $\theta^T = [a_1 \ a_2 \ b_1 \ b_2]$. Estimando os parâmetros da função de transferência discreta $H(q)$, obtém-se a estimativa \hat{y} ilustrada na [Figura 10](#).

```
sim(' ../Simulink/ctlsea.slx')
```

The electrical initial states of your model are forced to zero by the powergui block.

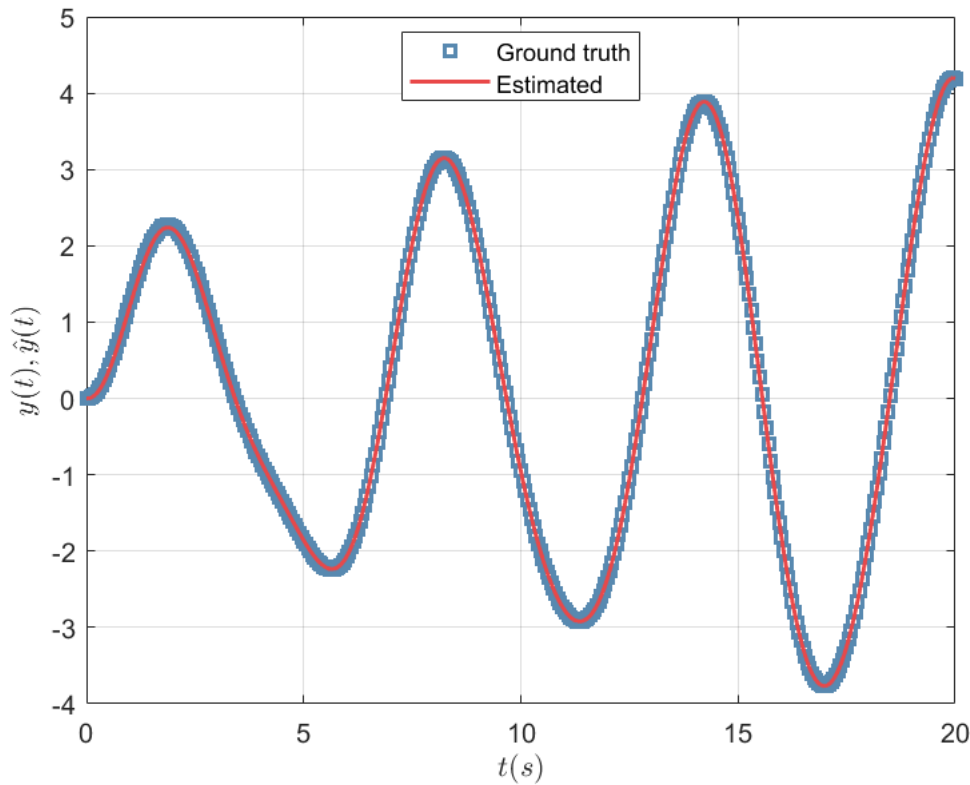


Figura 10: Estimativa \hat{y} e saída y do espaço de estados do circuito.

A transformação de $H(q)$ em tempo discreto para $G(s)$ resulta na seguinte função de transferência:

```
gd=tf(numd,dend,h);
gc=d2c(gd)
```

gc =

$$\frac{9.768e-12 s + 1}{s^2 + s + 1}$$

Logo, comparando com o [equacionamento de](#) $G(s)$, conclui-se que $k_1 = k_2 = k_3 = 1$. Quaisquer valores de R , L ou C que obedeçam a esse equacionamento validam o sistema simulado.

Exercício proposto 21: Variação de parâmetros do RLS

Para esse exercício, será considerado o sistema apresentado no [Ex. 12B](#).

A) Variação de $\hat{\theta}$

Ao variar o valor inicial de $\hat{\theta}(0)$, considerando $P(0) = I$, obtém-se o traçado para as estimativas \hat{b} e \hat{a} ilustrado na [Figura 11](#).

ex21_A

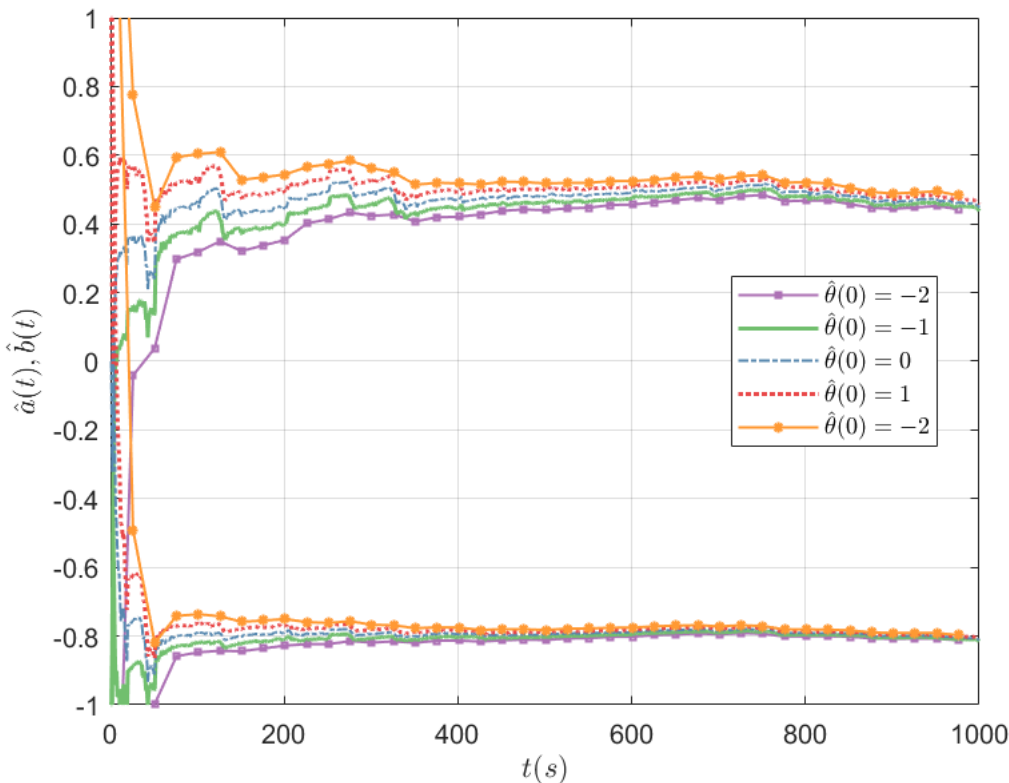


Figura 11: Estimativa $\hat{\theta}$ considerando a variação de $\hat{\theta}(0)$.

Observando a [Figura 11](#), é evidente que a estimativa inicial de $\hat{\theta}(0)$ influencia os valores das primeiras amostras de $\hat{\theta}(t)$, tendo em vista que a atualização de $\hat{\theta}(t)$ em função de $\hat{\theta}(t+1)$ é uma soma. Entretanto, essa mudança não influencia a estimativa final de $\hat{\theta}(1000)$, uma vez que o algoritmo RLS é robusto e independe do valor de $\hat{\theta}(0)$.

B) Variação de $P(0)$

Ao variar o valor inicial de $P(0)$ considerando $\hat{\theta}(0) = 0$, obtém-se o traçado para as estimativas \hat{b} e \hat{a} ilustrado na [Figura 12](#).

ex21_B

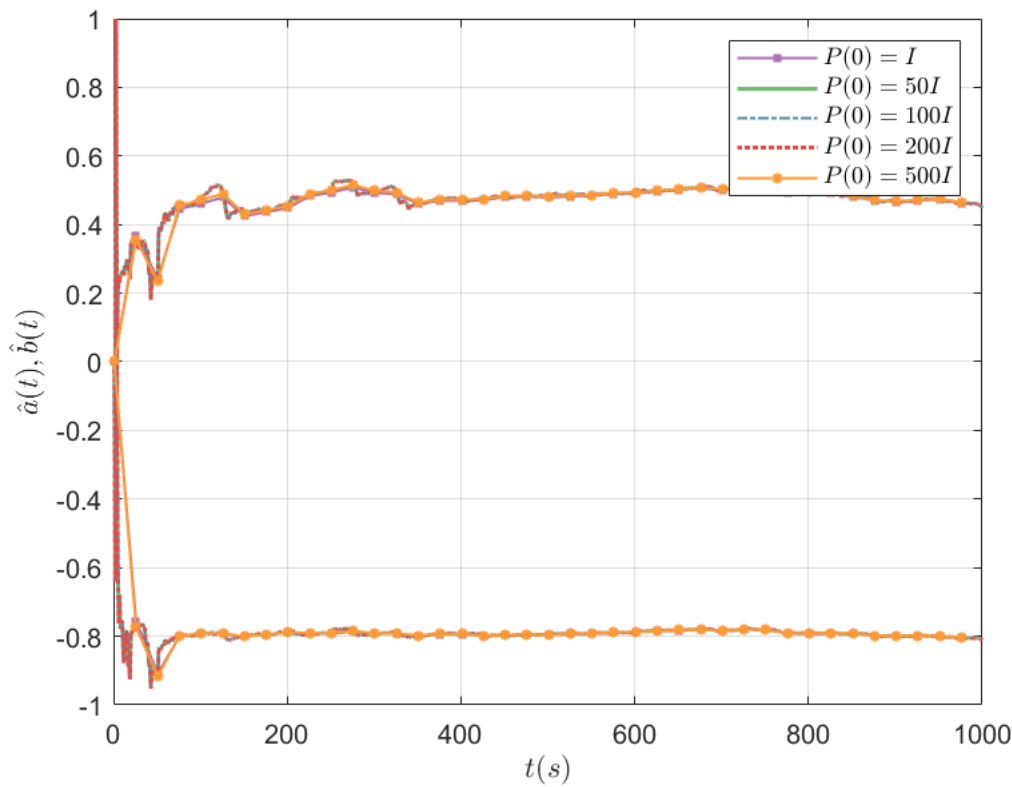


Figura 12: Estimativa $\hat{\theta}$ considerando a variação de $P(0)$.

Observando a [Figura 12](#), analogamente ao [item A](#), é evidente que o valor inicial de $P(0)$ influencia os valores das primeiras amostras de $\hat{\theta}(t)$, tendo em vista que a atualização de $\hat{\theta}(t)$ em função de $\hat{\theta}(t+1)$ é uma soma. Entretanto, essa mudança não influencia a estimativa final de $\hat{\theta}(1000)$, uma vez que o algoritmo RLS é robusto e independente do valor de $P(0)$.

Comparando a [Figura 11](#) com a [Figura 12](#), é claro que a mudança de $\hat{\theta}(0)$ impacta mais nas amostras iniciais de $\hat{\theta}(t)$ do que a variação de $P(0)$. Esse fator é justificável por $K(t)\varepsilon(t) \ll \hat{\theta}(t-1)$ na [equação de atualização](#) de $\hat{\theta}(t)$.

C) Variação de λ

Para estimar parâmetros variantes no tempo, pode-se acrescentar à função de custo $V(\theta, t)$ um fator λ de esquecimento das amostras, tal qual a seguinte formulação:

$$V(\theta, t) = \frac{1}{2} \sum_{k=1}^t \lambda^{t-k} (y(k) - \varphi^T(k)\theta)^2$$

para $0 < \lambda \leq 1$. Dessa forma, quanto mais recente a amostra, isto é, quando maior k , maior será λ^{t-k} e, consequentemente, o peso dessa amostra para o ajuste da estimativa $\hat{\theta}$.

Ao variar λ , obtém-se o traçado para as estimativas \hat{b} e \hat{a} ilustrado na [Figura 13](#).

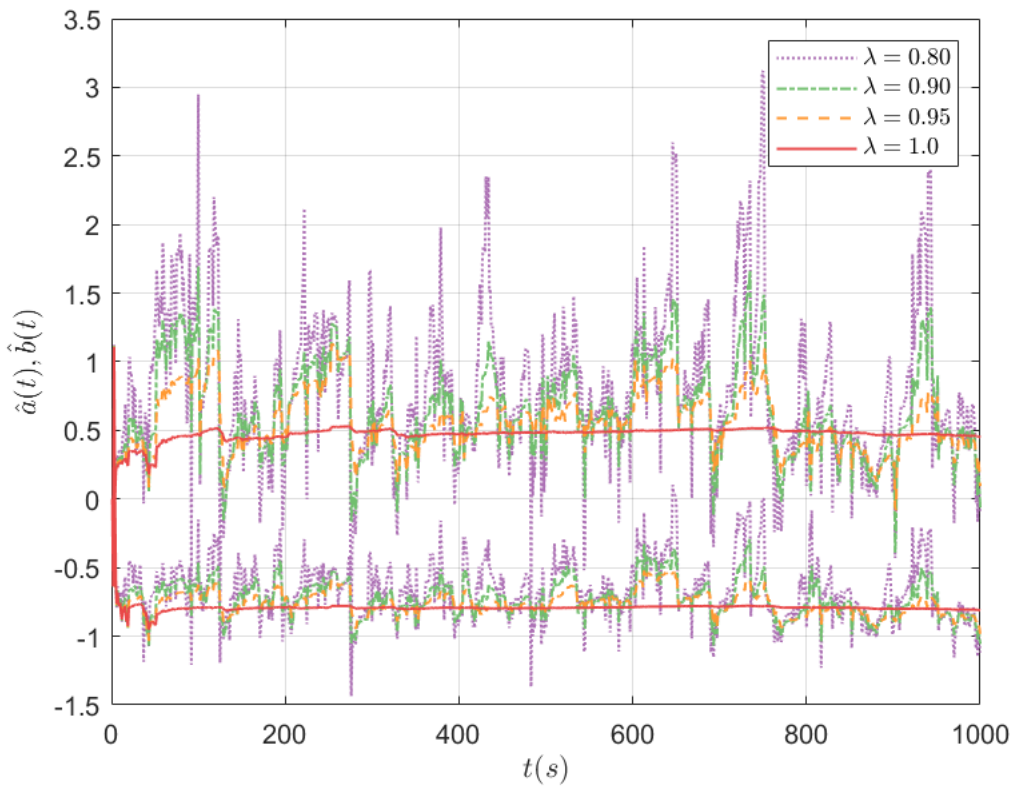


Figura 13: Estimativa $\hat{\theta}$ considerando a variação de λ .

Observando a [Figura 13](#), é evidente que quanto menor o λ , maior é o esquecimento do algoritmo e maior é a oscilação da estimativa. Dessa forma, conclui-se que esse método é adequado apenas para processos cujos parâmetros são variantes no tempo, o qual não é o caso da questão proposta. Uma forma de minimizar a oscilação seria diminuir o período do sinal de excitação, em razão do aumento da variação da resposta $y(t)$.

D) Variação de T

Ao variar o período T , obtém-se o traçado para as estimativas \hat{b} e \hat{a} ilustrado na [Figura 14](#).

ex21_D

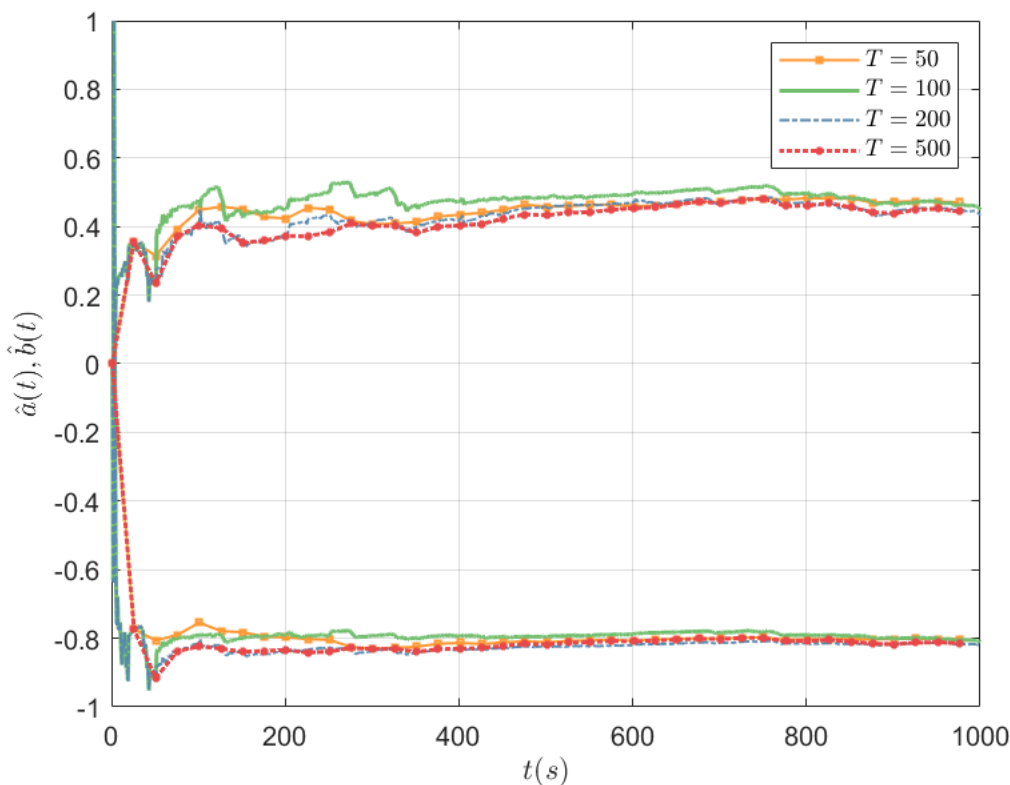


Figura 14: Estimativa $\hat{\theta}$ considerando a variação de T .

Observando a [Figura 14](#), é evidente que quanto menor o T , maior é a oscilação da estimativa. Tendo em vista a menor regularidade do processo com a redução do período, mais difícil é o ajuste do vetor $\hat{\theta}$ tendo em vista a mudança do sinal de $K(t)\varepsilon(t)$.

Referências bibliográficas

[1] L. LJUNG. **Introduction**. Courier Corporation, 2008. ISBN 9780748408788.

[2] K. ASTRÖM, B. WITTENMARK. **Real-time Parameter Estimation**. CRC Press, 2000. ISBN 0486462781.